

V-5

若材齢におけるハイブリッド繊維補強コンクリートのひび割れ抵抗性

北海道大学大学院 学生員	金 南旭
北海道大学工学部	天野 明子
北海道大学工学部 フェロー	佐伯 昇
北海道大学工学部 正会員	堀口 敏

1. はじめに

プレーンコンクリートに比べて繊維補強コンクリート(以下、FRCと呼ぶ)の利点は、曲げおよび引張強度の増加、韌性の改善、ひび割れの分散などの物性の向上である。FRCの力学的特性については研究も多く行われ、その優れた性質が確認されている。これまでのFRCは、マトリックスに鋼繊維、ガラス繊維、炭素繊維などの一つの繊維で補強されたことが一般的であるが、最近異なる2種類以上の長さの異なる繊維を用いたハイブリッド繊維補強コンクリート(以下、HFRCと呼ぶ)の研究が注目されている。

ハイブリッド繊維補強の特徴は、繊維の適切な組み合わせによる単一繊維補強では得られない補強効果があり、適切な繊維の種類と混入率などが重要な研究の一つとなる。

本研究は、長さ30mmの鋼繊維を共通として、鋼繊維6、12mmとポリプロピレン繊維(以下、PP繊維と呼ぶ)6、12mmから4つのシリーズのHFRCについて、特に温度ひび割れの制御が最も重要な材齢である若材齢(2、3、5日)の時、内部温度の上昇から発生する温度応力によって起こるひび割れに抵抗するためのミクロおよびマクロ繊維の補強による抵抗効果について検討したものである。

2. 実験概要

2.1 実験計画

本研究は、ミクロ繊維の補強効果を調べるために4つのシリーズを計画した。各シリーズは、鋼繊維30mmを共通として、S-S6シリーズは鋼繊維30mmと鋼繊維6mm、S-S12シリーズは鋼繊維30mmと鋼繊維12mm、S-P6シリーズは鋼繊維30mmとPP繊維6mm、そしてS-P12シリーズは鋼繊維30mmとPP繊維12mmとの混合であり、鋼繊維6mmとPP繊維12mmのほうは直径20μm以下のミクロ繊維を用いた。繊維の混入率は、鋼繊維30mmは1.0%と一定し、鋼繊維6、12mm、PP繊維6、12mmは0.1、0.3、0.5%とした。

一方、HFRCの作業性を確保するため、高性能減水剤を用いて、スランプが10±2cmになるように調整した。表1、2は本実験に用いた繊維の物性と配合表を示す。

表-1 使用した繊維の物理的性質

Types of fiber	Length (mm)	Longitudinal profile	Cross-section shape	Diameter	Tensile strength (Mpa)
Steel fiber	3	Flat	Circular	Under 20 μ m	1037
	6	Flat	Circular	Under 20 μ m	1037
	12	Crimped	Circular	0.25mm	1115
	30	Crimped	Circular	0.6 mm	1198
PP fiber	6	Flat	Circular	Under 20 μ m	760
	12	Flat	Circular	Under 20 μ m	760

Crack Resistance of Hybrid Fiber Reinforced Concrete at Early Age

by Nam-Wook KIM, Akiko AMANO, Noboru SAEKI, and Takashi Horiguchi

表-2 ハイブリッド繊維補強コンクリートの配合

Specimen	W/C (%)	S/a (%)	Unit content (kg/m ³)							
			Water	Cement	Sand	Coarse Aggregate	Water reducer	SF-I	SF-II	PPF
SS6-01	50	60	166	332	1051	696	1.16	78.5	7.85	---
SS6-03	50	60	166	332	1040	688	1.66	78.5	23.55	---
SS6-05	50	60	166	332	1059	700	2.66	78.5	39.25	---
SS12-01	50	60	166	332	1066	706	1.33	78.5	7.85	---
SS12-03	50	60	166	332	1063	703	1.99	78.5	23.55	---
SS12-05	50	60	166	332	1058	700	2.99	78.5	39.25	---
SP6-01	50	60	166	332	1068	706	0.99	78.5	---	0.9
SP6-03	50	60	166	332	1066	705	1.49	78.5	---	2.7
SP6-05	50	60	166	332	1062	703	2.32	78.5	---	4.5
SP12-01	50	60	166	332	1067	706	1.10	78.5	---	0.9
SP12-03	50	60	166	332	1063	704	1.33	78.5	---	2.7
SP12-05	50	60	166	332	1059	701	2.49	78.5	---	4.5

*SF-I : 鋼繊維 30mm *SF-II : 鋼繊維 6, 12mm PPF : ポリプロピレン繊維 6, 12mm

(例) SS6-01 : SF30mm(V_f:1.0%) + SF6mm(V_f:0.1%), SS12-05 : SF30mm(V_f:1.0%) + SF12mm(V_f:0.5%)

SP6-03 : SF30mm(V_f:1.0%) + PP6mm(V_f:0.3%), SP12-01 : SF30mm(V_f:1.0%) + PP12mm(V_f:0.1%)

2.2 実験準備

本研究は実構造物の状態、特にひび割れの制御が最も重要な若材齢(材齢: 2, 3, 5 日)のマスコンクリートの内部温度変化をシミュレートするため、マスコンクリートの温度履歴を適用した。すなわち、供試体は打ち込み時に25°Cを維持し、その後最大温度60°Cに設定した。打ち込み時に供試体の内部に熱電対を埋め込み、各状態の温度測定を実施し、確認した。供試体の乾燥収縮を防止するため、脱型した供試体にポリマー系被覆材を二度塗りし、ラップで巻いた状態を保った。

2.3 実験方法

本研究は100×100×400mmの角柱供試体を用い、静的4点曲げ試験(スパン: 300mm)を実施した。供試体には衝撃を与えないように一定変位速度で荷重を加えた。最大荷重までの載荷速度はJIS A 1106に準じ、スパンの1/1500、今回の場合、0.2mm/minとした。変位は供試体の中央点のたわみをLVDT(Linear Variables Differential Transducer)を用いて測定した。供試体の中央部に切り欠き(深さ/桁高=0.3)を入れ、クリップゲージとナイフエッジを用いてひび割れ開口変位(CMOD)を測定した。LVDTを用い測定した曲げ試験の荷重-たわみの曲線からひび割れ発生荷重、ひずみエネルギー解放率を求めるとした。

一方、荷重-たわみ曲線から決定されるひび割れ発生荷重を実測値と比較するため内視鏡を使うことを計画し、供試体の切り欠きに内視鏡のレンズを付け、ひび割れ発生荷重を実測した。

本実験で用いた内視鏡付き供試体の寸法を図-1、実験全景を写真-1に示す。

3. ひび割れ抵抗性に関する検討

3.1 温度ひびわれの発生

部材断面の大きいコンクリート構造物、すなわちマスコンクリートはセメントの水和熱が蓄積されて内部温度がかなり上昇する。従って、内部温度の上昇ならびに以後の冷却によって、マスコンクリートには応力が発生し温度ひび割れが生じやすい。

このようなマスコンクリートの温度ひび割れ発生原因是、内部拘束作用と外部拘束作用と大別されている。内部拘束ひび割れはコンクリートの内部と表面との温度差によって生じる。セメントの水和熱によって内部は温度が上がるが、表面は大気によって冷却され、その温度差がひび割れの発生原因となる。すなわち、相

対的に温度が低い表面部分のコンクリートが収縮する時、温度が高い内部のコンクリートが拘束し、表面部に引張応力が作用し、ひび割れが発生する。表面と内部の温度差は、材齢1~5日の間にコンクリート内部温度がピークに達する時、最大値となり、その時期が最も温度応力に対するひび割れが発生しやすい。

一方、外部拘束ひび割れは、新設コンクリート全体の温度が降下するときの収縮変形が既設のコンクリートや岩盤等によって拘束され、発生する。

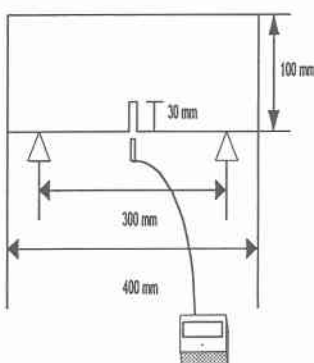


図-1 供試体の寸法及び内視鏡観察の概要

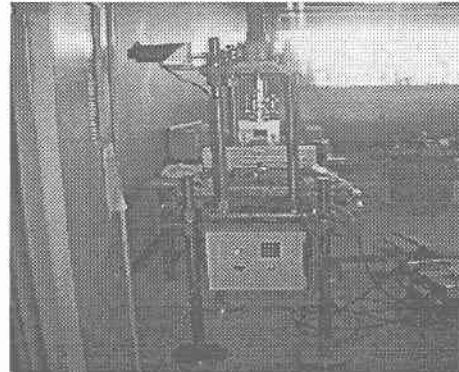


写真-1 実験全景

3.2 ひび割れ発生荷重の決定方法

ひび割れ発生荷重は、荷重一たわみ曲線で最初に傾きが変化する点であり、ASTM C 1018からの定義では非線形の開始する点で、その傾き5%以上離れることおよび最大荷重の45~70%の範囲であるとしている。従って、ひび割れ荷重を決めるのは難しい面をもっている。

本論文は、荷重一たわみ曲線のデータを用い、 $\log P - \log \delta$ の曲線から図-2に示すように2つの直線との交点を求め、一致する点をひび割れ発生荷重と考えた。

この考えは物質がひび割れなどによって別の状態に変る時、変曲点を示すことを用いたものである。

一方、荷重一たわみ曲線から決定されたひび割れ発生荷重と内視鏡からの測定値との比較をした結果を表-3に示す。内視鏡からの測定は、供試体のひび割れの発生開始点を探すのが極めて難しいが、表-3にまとめたように $\log P - \log \delta$ 法と内視鏡観察値はほぼ対応していた。

表-3 $\log P - \log \delta$ 法によるひび割れ発生荷重と内視鏡による観察値との比較

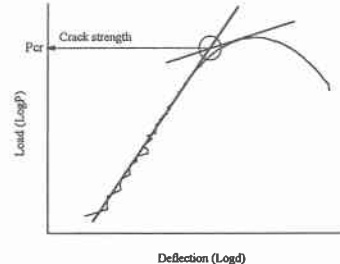


図-2 $\log P - \log \delta$ 法による
ひび割れ発生荷重の決め方

Specimen No.	$\log P - \log \delta$ method (kgf)	Scope observation (kgf)
SS6-01-32	405	435
SS6-03-51	467	426
SS6-05-33	568	554
SS12-03-53	434	448
SS12-05-22	395	388

3.3 本研究の検討方法

温度ひび割れ対策の基本的な考え方は次の3つに要約できる。すなわち、コンクリート温度上昇を小さくすること、発生する温度応力を小さくすること、発生する温度応力に対して抵抗性を向上させることである。

本研究は、コンクリートに温度ひびわれに対する抵抗性をつけるために繊維の補強によるマトリックスの性能向上を図った。従って、繊維の混入率、長さなどを変化したHFRCを用い、ひび割れ荷重を求め、そのことから次の公式を利用し、温度応力に対するマトリックスのひび割れ抵抗性に関する評価とした。

$$G_c = \{ \alpha (1 - v^2) / E \} \times (\sigma^2 \pi a) \quad (1)$$

ここに、 G_c ：限界ひずみエネルギー解放率

α ：ひび割れ深さによる係数

v ：ポアソン比（ここは0.2）

σ ：ひび割れ発生応力

a ：ひび割れ深さ

材料の潜在的な欠陥に外力や温度勾配などの外的・内的作用が働くことによって、ひび割れが発生し伝播する。ひずみエネルギー解放率が、限界ひずみエネルギー開放率(G_c)を超えるとひび割れ発生・伝播する可能性が生じる。従って、 G_c を基準にしてひび割れ抵抗性を評価することが有効であると判断される。

4. 実験結果

4.1 ひび割れ発生荷重

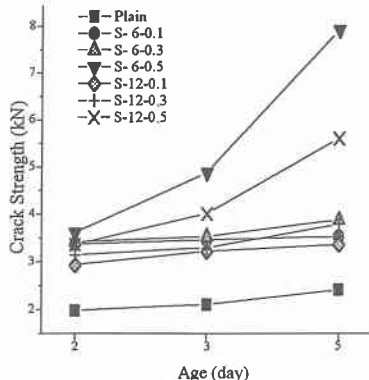
各シリーズについて、図-2のようなひび割れ発生荷重の決定方法からの結果を表-3および図-3に示す。すべてのシリーズの結果から、繊維の混入率が増えるほど、プレーンコンクリートよりひび割れ発生荷重が増進された。プレーンコンクリートと一番効果的であるS-S6シリーズ(V_f : 1.0+0.5%の場合)との結果を材齢の経過によって比較すると、材齢2日は1.8倍、3日は2.3倍、5日では32倍である。

表-4 各シリーズのひび割れ発生荷重の結果

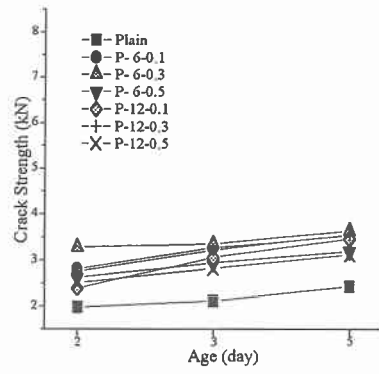
混入率 (%)	材齢2日 (kN)				材齢3日 (kN)				材齢5日 (kN)			
	SS-6	SS-12	SP-6	SP-12	SS-6	SS-12	SP-6	SP-12	SS-6	SS-12	SP-6	SP-12
1.0+0.1	3.37	2.94	2.81	2.39	3.46	3.22	3.26	3.05	3.54	3.37	3.52	3.46
1.0+0.3	3.42	3.15	3.28	2.75	3.54	3.30	3.34	3.21	3.88	3.79	3.63	3.55
1.0+0.5	3.62	3.37	2.62	2.50	4.88	4.01	2.93	2.81	7.92	5.61	3.19	3.11
プレーン	1.98				2.11				2.42			

4.2 ひずみエネルギー開放率

各シリーズに対し、式(1)を用いて計算したひずみエネルギー開放率の結果を表-5および図-4に示す。この結果から考察すると、各のシリーズは材齢の経過および繊維混入率の増加によって、そのひずみエネルギー開放率が増加した。プレーンコンクリートに比べてHFRCのほうに増進が見られ、マトリックスに温度応力に対するひび割れ抵抗性の増進が認められた。特にS-S6シリーズほうが最も効果的であり、そのシリーズとプレーンコンクリートを比較すると、2日は3倍、3日は4.5倍、そして5日は8.9倍となり、材齢の経過によって、その増加率が高くなつた。



(a)S-S6, S-S12 シリーズ



(b)S-P6, S-P12 シリーズ

図-3 ひび割れ発生荷重

一方、PP 繊維で補強させた S-P6, S-P12 シリーズは PP 繊維が 0.3%までにはひずみーエネルギー値が繊維の混入率によって増加したが、PP 繊維の混入率がその以上をこえると、ひずみーエネルギー開放率が減少し、1.0+0.3%のほうが最適値となった。

一方、ミクロ繊維の添加による効果は、S-S6 対 S-S12 シリーズと S-P6 対 S-P12 シリーズの比較から判るように、両シリーズともにミクロ繊維の添加による効果が判った。

この理由は、供試体が荷重を受け、初期段階に発生する微細ひび割れを主としてミクロ繊維が抵抗するものと考えられる。このため、ミクロ繊維の添加により細微ひび割れの伝播が抑制され、ひび割れ発生荷重が高くなり、結局ひび割れに対する抵抗性が向上すると考えられる。

表-5 各シリーズのひずみーエネルギー開放率

混入率 (%)	2 日 G(N/mm)				3 日 G(N/mm)				5 日 G(N/mm)			
	SS-6	SS-12	SP-6	SP-12	SS-6	SS-12	SP-6	SP-12	SS-6	SS-12	SP-6	SP-12
1.0+0.1	0.019	0.015	0.016	0.013	0.020	0.016	0.020	0.019	0.021	0.017	0.022	0.021
1.0+0.3	0.020	0.015	0.019	0.016	0.021	0.016	0.021	0.020	0.042	0.020	0.036	0.025
1.0+0.5	0.021	0.017	0.016	0.015	0.036	0.022	0.018	0.017	0.089	0.041	0.018	0.018
プレーン	0.007				0.008				0.010			

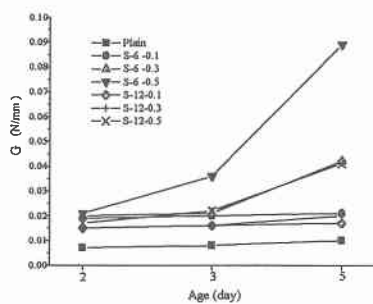
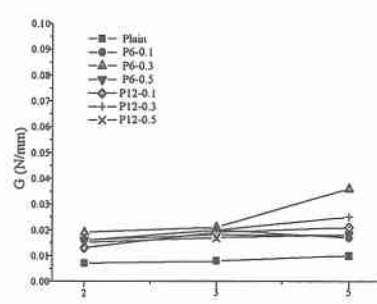


図-4 各シリーズのひび割れ抵抗性



今回は温度ひびわれの解析の初期段階として実験結果から求めたひずみーエネルギー開放率を用い、各シリーズの温度ひび割れに対する抵抗性の評価基準としたが、今後は、FEM シミュレーションによって、その供試体の内部の温度応力分布を計算し、実験値と比較したひび割れ指数を求める予定である。

5. まとめ

本研究はミクロ纖維の混入による HFRC の温度ひび割れに対する初期材齢のひずみーエネルギー開放率からひび割れに対する抵抗性を検討したもので、次の結果を得られた。

1)ひずみーエネルギー解放率の結果から、一番効果的である S-S6 シリーズとプレーンコンクリートを比較すると、2 日—3 倍、3 日—4.5 倍、5 日—8.9 倍などプレーンコンクリート比 HFRC の温度ひびわれに対するひび割れ抵抗性効果が認められた。

2)HFRC は、材齢および纖維の混入率が増加するほど、抵抗性が増進する傾向であるが、PP 纖維では 0.3% の時が最適混入率となった。

3)SS-6、SP-6 シリーズのほうが SS-12、SP-12 シリーズよりひずみーエネルギー開放率が増加した結果からミクロ纖維の混入による増進効果が認められた。

【参考文献】

- 1) 日本土木学会：コンクリート標準示方書（施工編）
- 2) 長瀬重義、佐藤良一：マスコンクリートにおける温度ひび割れ制御の動向、コンクリート工学、Vol.26、No.5、1988、pp.4-11
- 3) 金南旭、佐伯昇、堀口敬：ハイブリッド纖維補強コンクリートのひび割れ抵抗性、第 52 回セメント技術大会年次講演会、セメント協会、May 1998、pp.396—397